

تولید و کنترل کیفی زوج ترانوستیک $^{132/135}\text{La}$ به منظور استفاده در رادیوتراپی هدفمند

علی شیرپور^۱، اصغر حدادی^۱، سمانه ذوالقدری^۱، سارا وثوقی^{۲*}، سعید رجبی‌فر^۲

۱. گروه مهندسی پرتو پزشکی، واحد علوم و تحقیقات، دانشگاه آزاد اسلامی، صندوق پستی: ۱۴۵۱۵-۷۷۵، تهران - ایران

۲. پژوهشکده کاربرد پرتوها، پژوهشگاه علوم و فنون هسته‌ای، سازمان انرژی اتمی ایران، صندوق پستی: ۱۴۳۹۵-۸۳۶، تهران - ایران

*Email: szolghadri@aeoi.org.ir

مقاله پژوهشی

تاریخ دریافت مقاله: ۱۴۰۳/۰۵/۲۹ | تاریخ بازنگری مقاله: ۱۴۰۳/۰۷/۲۸ | تاریخ پذیرش مقاله: ۱۴۰۳/۰۸/۰۹

چکیده

در میان رادیولانتانیدهای نویدبخش، لantanum-۱۳۲/۱۳۵ به عنوان یک جفت ترانوستیک، دارای مزیت‌های خاصی جهت تهیه طیف گسترده‌ای از رادیوداروها است. در این مطالعه، به منظور تولید زوج ترانوستیک $^{132/135}\text{La}$ از طریق برهم‌کنش $\text{natBa}(\text{p},\text{x})^{13x}\text{La}$ ، ابتدا محاسبات نظری با استفاده از کدهای هسته‌ای ALICE-۹۱، TALYS-۱.۸ و SRIM-۲۰۱۳ انجام شد. سپس هدف باریم طبیعی در سیکلotron ۳۰ MeV با پرتوانهای با انرژی $100 \mu\text{Ah}$ و شدت جریان 22.5 MeV از هدف پرتودهی شده، خلوص شیمیایی، خلوص رادیوشیمیایی و خلوص رادیونوکلیدی محلول به ترتیب با استفاده از روش‌های طیفسنجی جرمی پلاسمایی جفت‌شده القایی، رادیوکروماتوگرافی لایه نازک و اسپکترومتری گاما بررسی شد. نهایتاً اثر افزایش غلظت شلاتور DOTA (۱-۱۰۰ نانومول) در نشان دارسازی شلاتور با لantanum مورد بررسی قرار گرفت. نتایج نشان داد که مقدار کل یون‌های فلزی در محلول نهایی 0.03 ppm و خلوص رادیوشیمیایی و رادیونوکلیدی به ترتیب بالاتر از 99% و 99.5% است. نشان دارسازی شلاتور DOTA با لantanum نشان داد حتی با اضافه نمودن ۱ نانومولار از این شلاتور، خلوص رادیوشیمیایی بالاتر از 93% به دست آمد. این مطالعه نشان داد که امکان تولید و جداسازی رادیوایزوتوپ‌های لantanum با کیفیت موردنیاز برای توسعه رادیوداروهاست تا تشخیصی و درمانی بر پایه لantanum وجود دارد.

کلیدواژه‌ها: زوج ترانوستیک، $^{132/135}\text{La}$ ، جداسازی رادیوشیمیایی، نشان دارسازی، شلاتور DOTA

Production and quality control of the $^{132/135}\text{La}$ theranostic pair for targeted radiotherapy

A. Shirpoor¹, A. Haddadi¹, S. Zolghadri^{*2}, S. Vosoughi², S. Rajabifar²

1. Medical Radiation Engineering Department, Science and Research Branch, Islamic Azad University, P.O.Box: 14515-775, Tehran – Iran
2. Radiation Application Research School, Nuclear Science and Technology Research Institute, AEOI, P.O.Box: 14395-836, Tehran - Iran

Research Article

Received: 19.08.2024,

Revised: 19.10.2024,

Accepted: 30.10.2024

Abstract

Among promising radioisotopes, $^{132/135}\text{La}$ stands out as a theranostic pair, offering specific advantages for the preparation of a wide range of radiopharmaceuticals. In this study, the theranostic pair $^{132/135}\text{La}$ was produced through the interaction of $\text{natBa}(\text{p},\text{x})^{13x}\text{La}$, using theoretical calculations with the nuclear codes ALICE-91, TALYS-1.8, and SRIM-2013. The natural barium target was then irradiated in a 30 MeV cyclotron with 22.5 MeV protons and a current of $100 \mu\text{Ah}$. After the lanthanum was separated from the irradiated target, the solution's chemical purity, radiochemical purity, and radionuclide purity were examined using ICP-OES, RTLC, and gamma spectrometry, respectively. The study also investigated the effect of increasing the concentration of the chelator DOTA (1-100 nanomolar) on its labeling with lanthanum. The results showed that the average total amount of metal ions in the final solution was less than 0.1 ppm, with radiochemical and radionuclide purities above 99% and 99.5%, respectively. The labeling of the chelator DOTA with lanthanum demonstrated that even with the addition of 1 nmol of this chelator, a radiochemical purity higher than 93% was achieved. This study indicates that it is possible to produce lanthanum radionuclides with the required quality for the development of theranostic radiopharmaceuticals.

Keywords: Theranostic, $^{132/135}\text{La}$, Radiochemical separation, Labeling, DOTA chelator



می‌شود. به این دلایل، رادیوتراپی اوژه در پزشکی هسته‌ای، به اوژه برای هدف قرار دادن توده‌های توموری بسیار کوچک مانند متاستازها در نظر گرفته می‌شود [۸-۹]. بنابراین، توسعه جفت‌های ترانوستیک جدید با قابلیت گسیل ذرات با انتقال انرژی خطی بالا یکی از زمینه‌های تحقیقاتی مهم در زمینه رادیوداروها است.

در میان رادیولانتانیدهای نویدبخش جهت کاربردهای پزشکی هسته‌ای، $^{132/135}\text{La}$ به عنوان یک جفت ترانوستیک، به دلیل مشخصات واپاشی مناسب (شکل ۱) و همچنین خواص شیمیایی مشابه با سایر رادیوفلزات مرسوم درمانی (مانند ^{177}Lu ، ^{90}Y یا ^{225}Ac) دارای مزیت‌های خاصی جهت تهیه طیف گسترده‌ای از رادیوداروها است.

رادیوایزوتوپ ^{132}La یک گسیلنده پوزیترون با نیمه‌عمر ۴۵۹ ساعت و انرژی میانگین β^+ MeV ۱/۲۹ است که برای بررسی پروفایلهای فارماکوکینتیک و مرحله‌بندی بیماری از طریق تصویربرداری توموگرافی انتشار پوزیترون (PET) استفاده می‌شود [۹]. از سوی دیگر، ^{135}La با نیمه‌عمر ۱۹/۵ ساعت از طریق گیراندازی الکترون، الکترون‌های اوژه تولید می‌کند که برای الکترون اوژه‌تراپی (AET) قابل استفاده است [۱۰-۱۱]. جدول ۱ اندوخته‌های الکترون اوژه تولیدی توسط این رادیوایزوتوپ را به همراه بهره و میانگین انرژی هر یک نشان می‌دهد. بهره میانگین گسیل الکترون اوژه برای این رادیوایزوتوپ ^{135}La ۱۰/۹±۳/۲ e⁻ Bq^{-۱}s^{-۱} می‌باشد.

دیگر مزایای استفاده از جفت ترانوستیک $^{132/135}\text{La}$ عبارتند از: در دسترس بودن زیرساخت‌های مورد نیاز برای تولید، شیمی و بیوشیمی قابل پیش‌بینی و عدم نیاز به یک ایزوتوپ غنی شده به عنوان ماده اولیه.

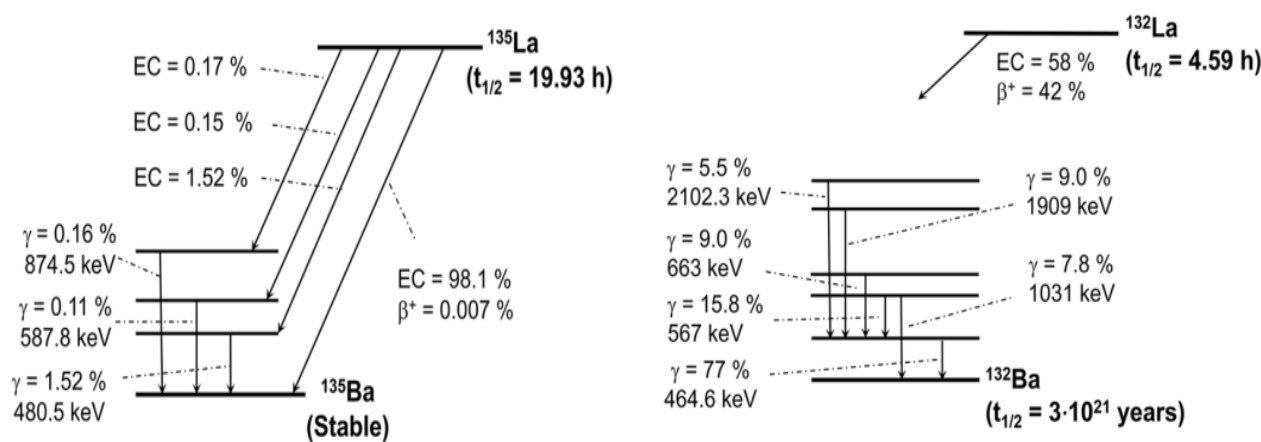
جدول ۲ برخی از رادیولانتانیدهای ترانوستیک عمده مورد استفاده در پزشکی هسته‌ای را به همراه نیمه‌عمر، مسیرهای ممکن برای تولید و سایر اطلاعات ضروری نشان می‌دهد.

همان‌گونه که از جدول ۲ دیده می‌شود، تقریباً تمام رادیولانتانیدهای از ایزوتوپ‌های غنی شده به عنوان ماده اولیه استفاده می‌کنند. لذا استفاده از باریم طبیعی به عنوان ماده اولیه در تولید زوج ترانوستیک $^{132/135}\text{La}$ یک مزیت محسوب می‌شود.

۱. مقدمه

امروزه از رادیوداروها در پزشکی هسته‌ای با ضریب اطمینان بسیار بالایی در درمان، تشخیص و پیگیری روند درمان بیماری‌ها استفاده می‌شود و بیش از صد رادیودارو برای تشخیص تعدادی از بیماری‌های متداول و درمان تعداد محدودی از بیماری‌های انتخابی مانند سرطان توسعه یافته‌اند [۱]. درمان هدفمند به وسیله رادیونوکلید (TRT)، نویدبخش درمان سرطان‌های متاستاتیک، با استفاده از ترکیبات رادیونشانداری است که به طور خاص سلول‌های تومور را هدف قرار می‌دهند. در این روش برخلاف پرتودرمانی خارجی معمولی، آسیب جانبی کمتری به بافت‌های سالم وارد می‌شود و اجازه داده می‌شود که رادیودارو به ناهنجاری‌های نئوپلاستیک، سلول‌های متاستاز شده تحويل داده شده و باعث درمان سیستمیک سرطان گردد. این روش مبتنی بر استفاده از مولکول‌هایی با میل ترکیبی بالا (به عنوان حامل رادیونوکلیدها) به سلول‌های توموری می‌باشد [۲]. در سال‌های اخیر چشم‌انداز رادیوداروهای تشخیصی-درمانی یا ترانوستیک مورد استفاده در پزشکی هسته‌ای به سرعت در حال تغییر است و استفاده از زوج ترانوستیک به کلمه کلیدی در پزشکی هسته‌ای بالینی تبدیل شده است [۳]. این روش تکنیکی است که به موجب آن یک داروی خاص برای تصویربرداری تشخیصی ابتدا با رادیونوکلید تشخیصی نشان دار می‌شود و پس از تجزیه و تحلیل، همان دارو با یک رادیونوکلید درمانی نشان دار می‌شود. ایزوتوپ‌های مکمل مورد استفاده جفت ترانوستیک نامیده می‌شوند. ضروری است که دو ایزوتوپ خواص شیمیایی بسیار مشابهی داشته باشند، و حالت ایده‌آل این است که ایزوتوپ‌های متفاوت یک عنصر باشند [۴]. تعداد کمی از عناصر دارای ایزوتوپ‌هایی با خواص واپاشی مناسب هستند که هم برای تصویربرداری و هم برای درمان قابل استفاده باشند. بین ۸۶/۹۰ Y، ۶۴/۶۷ Cu، ۴۴/۴۷ Sc و I $^{124/131}$ جهت درمان هدفمند مورد استفاده قرار گرفته‌اند. در حالی که عموماً گسیل‌های بتا و آلفا گزینه‌های فعلی برای چنین درمانی می‌باشند، خواص منحصر به‌فرد الکترون‌های اوژه آن‌ها را به انتخابی جذاب برای درمان هدفمند تبدیل می‌کند. الکترون‌های اوژه به دلیل برد بسیار کوتاه و تعدد زیاد، کیفیتی شبیه به ذرات با انتقال انرژی خطی (LET) بالا دارند. این باعث می‌شود آن‌ها قادر به القای شکستهای DNA دو رشتهدی باشند [۵]. علاوه بر این، برد کوتاه الکترون‌های اوژه (کمتر از قطر سلول)، تابش مؤثر سلول‌های هدف را از لحاظ نظری ممکن می‌سازد، در حالی که تا حد زیادی از بافت سالم اطراف محافظت



شکل ۱. طرح واپاشی ^{135}La و ^{132}La جدول ۱. الکترون‌های اوژه تولیدی توسط رادیوایزوتوپ ^{135}La

	واپاشی / بهره	انرژی متوسط (keV)
Auger KLL	۰.۰۵۵	۴۶.۳
Auger KLX	۰.۰۲۵	۳۱.۰
Auger KXY	۰.۰۰۳	۳۵.۶
CK LLX	۰.۱۳۱	۰.۳۳۳
Auger LMM	۰.۵۸۰	۳.۵۳
Auger LMX	۰.۱۸۵	۴.۳۳
Auger LXY	۰.۰۱۴	۵.۱۵
CK MMX	۰.۶۳۴	۰.۱۰۴
Auger MXY	۱.۵۹	۰.۵۳۸
Super-CK NNN	۰.۲۷۷	۰.۰۰۷
CK NNX	۱.۳۳	۰.۰۴۹
Auger NXY	۴.۲۷	۰.۰۳۹
CK OOX	۱.۷۸	۰.۰۰۹
Auger OXY	۰.۰۲۳	۰.۰۳۰
Total	۱۰.۹	۰.۵۹۲

جدول ۲. مشخصات برخی از رادیولاندیدهای ترانوستیک مورد استفاده در پزشکی هسته‌ای

رادیونوکلید	نیمه عمر	مسیر اصلی تولید	$\sigma_{\text{th}}(\text{barn})$	$E_{\beta,\text{max}}(\text{keV})$	$E_{\gamma,\text{main}}(\text{keV}) (\% \text{ ab})$
^{153}Sm	۱.۹۵ d	$^{152}\text{Sm}(\text{n},\gamma)$	۲۰۶.۲	۸۰.۸	۱۰۳.۲ (۲۸.۳)
^{161}Tb	۶.۹۱ d	$^{160}\text{Gd}(\text{n},\gamma)^{161}\text{Gd} \rightarrow \beta^-$	۱.۵	۵۹۳	۷۴.۶ (۵.۸)
^{165}Dy	۲.۳۳ h	$^{164}\text{Dy}(\text{n},\gamma)$	۲۷۲.۰	۱۲۸.۶	۹۴.۷ (۳.۶)
^{166}Ho	۱.۱۲ d	$^{165}\text{Ho}(\text{n},\gamma)$ $^{164}\text{Dy}(2\text{n},\gamma)^{166}\text{Dy} \rightarrow \beta^-$	۶۱.۲ ۳۹.۰	۱۸۵.۴	۸۰.۶ (۶.۲)
^{169}Er	۹.۴۰ d	$^{168}\text{Er}(\text{n},\gamma)$	۱.۲۸	۳۵.۰	۸۴ (۰.۱۶)
^{170}Tm	۱۲۸.۴ d	$^{169}\text{Tm}(\text{n},\gamma)$	۱.۰۹	۹۶.۸	۸۴ (۳.۲۶)
^{177}Lu	۶.۶۵ d	$^{176}\text{Yb}(\text{n},\gamma)^{177}\text{Yb} \rightarrow \beta^-$ $^{176}\text{Lu}(\text{n},\gamma)$	۲.۸۵ ۲.۰۹	۴۹.۸	۲۰۸.۴ (۱۱.۱)
^{47}Sc	۳.۳۵ d	$^{46}\text{Ca}(\text{n},\gamma)^{47}\text{Ca} \rightarrow \beta^-$ $^{47}\text{Ti}(\text{n},\text{p})^{48}\text{Sc}$	۰.۷۴۰.۵	۶۰.۰	۱۵۹.۴ (۶.۸)



طريق بمباران پروتونی هدف بارييم طبيعى طى برهمنش $^{132/135}\text{La}^{\text{nat}}\text{Ba(p,x)}$ و همچنین كنترل كيفي آن از طريق نشاندارسازی با شلاتور DOTA، با استفاده از سيكلوترون ۳۰ MeV کرج (IBA، Cyclone) برای اولين بار در کشور، هدف اين پژوهش بوده است.

۲. روش کار

۱.۲ محاسبات

در اين کار، تابع برانگیختگی واکنش پروتون با هدف بارييم طبيعى که منجر به تولید ايزوتوبهای مختلف می‌گردد، با استفاده از کد ALICE-91 و TALYS-1.8 محاسبه گردید. توان توقف پروتون‌ها در ماده هدف و ضخامت هدف با استفاده از کد SRIM-2013 محاسبه شد. انتخاب بازه بهينه انرژی برای تولید کافی از $^{132/135}\text{La}$ مقدار ناخالصی‌های راديونوکلیدی تولیدشده در کمترین حد ممکن نگه داشته شوند.

۲.۱ مواد و تجهیزات

هدف فلزی بارييم طبيعى با خلوص ۹۹.۹٪ از شركت Sigma-Aldrich آلمان تهيه و برای پرتودهی مورد استفاده قرار گرفت. برای جداسازی لانتانم از هدف بارييم، از رزين دی‌گلیکول آميد تولید شركت Eichrom استفاده شد. شلاتور دو عاملی DOTA از شركت Macrocyclics تهيه گردید. تمامی مواد شيميايی ديگر مورد استفاده از شركت Analytical grade بوده و از شركت مرک تهيه شدند. طيف‌سنجمي گاما با استفاده از آشكارساز ژرماننيم با خلوص بالا (HPGe) نوع p هممحور متصل شده به يك دستگاه تجزيه‌كننده چندکاناله (MCA) انجام گردید.

راديوکروماتوگرافی با استفاده از اسکنر کروماتوگرافی لايه نازك (Bioscan AR2000، پاريس، فرانسه) انجام شد.

۳.۱ آماده‌سازی و پرتودهی هدف

راديونوکلیدهای ^{13x}La از طريق تابش پروتونی هدف بارييم طبيعى ($^{330}\text{mili}\text{Cr}$) از طريق برهمنش $^{13x}\text{La}^{\text{nat}}\text{Ba(p,x)}$ در سيكلوترون تولید گردید.

برای ساخت هدف، پودر بارييم فلزی در قرص آلومينيمی با قطر ۱۱ ميلی‌متر و ضخامت ۱/۲ ميلی‌متر قرار داده شد و تحت فشار 10 ton/cm^2 فشرده شده و در نهايت توسط يك ورق آلومينيم با خلوص بالا با ضخامت ۱ پوشانده شد (شکل ۲). پرتودهی با انرژي پروتون 22.5 MeV ، جريان $25 \mu\text{A}$ و برای مدت ۴ ساعت انجام شد.

در زمينه توليد و استفاده از ^{135}La و همچنین زوج ترانوستيک $^{132/135}\text{La}$ ، پژوهش‌های مختلف توسيط محققان در سال‌های اخير انجام شده است. در سال ۲۰۱۴، Mansel¹ و همکاران به توليد ايزوتوب ^{135}La بدون حامل در سيكلوترون 18 MeV پرداختند. آن‌ها از هدف غني‌شده $[^{135}\text{Ba}]^{135}\text{BaCO}_3$ استفاده کردند و موفق به دستيابي به بازده راديوشيميايی 8.83 ± 5 ٪ و اكتيوبيته كل $43 \pm 3 \text{ MBq}$ شدند [۱]. در سال ۲۰۱۸، Fonslet² و همکاران به بررسی راديونوکليد ^{135}La به عنوان يك راديونوکليد تابش‌كننده الکترون اوژه پرداختند که برای درمان هدفمند در راديوترابي استفاده می‌شود. اين راديونوکليد از طريق بمباران بارييم طبيعى با پروتون 16.5 MeV در يك سيكلوترون پژشكى توليد شد. بهره توليد متوسط اين راديونوکليد $40.7 \pm 19 \text{ MBq } \mu\text{A}^{-1}$ بوده و خلوص راديونوکليدي آن در ۲۰ ساعت پس از تابش به ۹۸٪ رسيد [۱۰]. در مطالعه‌اي که ساردوی^۳ و همکاران در سال ۲۰۱۹ انجام دادند، توليد و تصويربرداري زوج ترانوستيک ^{132}La و ^{135}La مورد بررسی قرار گرفت. در اين تحقيق، راديونوکليدهای مذكور با استفاده از بمباران پروتون بر روی هدف بارييم طبيعى توليد شدند. راديونوکليدهای ^{132}La و ^{135}La توليد شده دارای خلوص راديوشيميايی و راديونوکليدي مناسب برای کاربردهای ترانوستيک مبتنی بر $^{132/135}\text{La}$ در درمان سرطان بوده‌اند [۹].

توليد اين زوج ترانوستيک مبتنی بر جداسازی راديوشيميايی مقدار ناچيز $^{132/135}\text{La}$ بدون حامل اضافه^۴ (NCA) از هدف بارييمی است. تاکنون روش‌های جداسازی مختلفی مانند رسوب انتخابی^۵، تبادل یونی، استخراج با حلal و الکتروشيميايی برای جداسازی لانتانم از بارييم گزارش شده است [۹-۱۱]. در سال ۲۰۲۱، Chakravarty^۶ و همکاران به بررسی جداسازی الکتروشيميايی زوج ترانوستيک $^{132/135}\text{La}$ از هدف بارييم تابش‌شده با پروتون پرداختند. اين مطالعه بر توسعه يك روش مؤثر برای جداسازی اين راديونوکليدها تأکيد داشته است [۴].

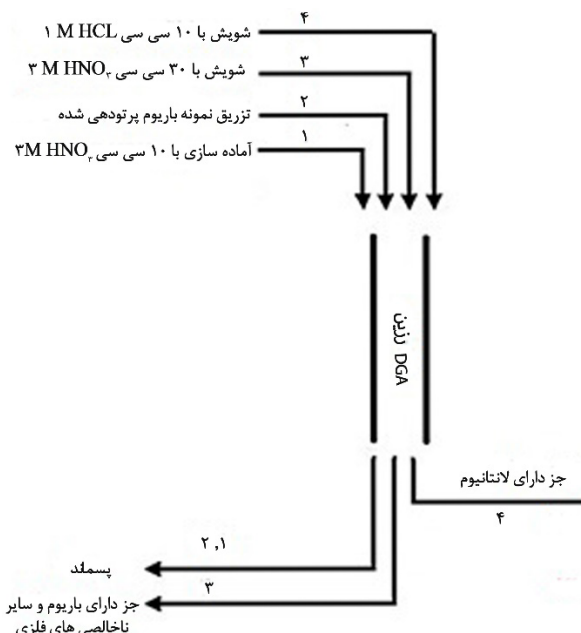
با توجه به مزایاي استفاده از زوج ترانوستيک $^{132/135}\text{La}$ ، همچون عدم نياز به يك ايزوتوب غني شده به عنوان ماده اوليه، در دسترس بودن زيرساخت‌های موردن نياز برای توليد و همچنین شيمى و بيوشيمى قابل پيش‌بياني، توليد بهينه زوج ترانوستيک $^{132/135}\text{La}$ با خلوص راديوشيميايی بالا جهت نشاندارسازی پپتيدها برای استفاده در راديوترابي هدفمند از

1. Mansel
2. Fonslet
3. Sarduy
4. No Carrier Added
5. Selective Precipitation
6. Chakravarty





شکل ۲. (الف) قرص آلمینیمی، (ب) پوشش آلمینیمی با خلوص بالا و (ج) هدف باریمی فشرده شده.



شکل ۳. شماتیک جداسازی لantanیم از هدف باریم طبیعی پرتودهی شده.

۵.۲ خلوص رادیوشیمیایی و شیمیایی

خلوص رادیوشیمیایی محصول با استفاده از روش کروماتوگرافی لایه نازک (RTLC) (RTLC) با دو سیستم حلال، ۱ میلی مolar DTPA و مخلوط $۱۰\%/\text{Ammonium}$ استات: متانول ($۱:۱$) اندازه‌گیری شد. در نهایت، کاغذ با استفاده از اسکنر RTLC اسکن شد.

برای تعیین وجود هر گونه ناخالصی شیمیایی در محلول نهایی از روش ICP-OES استفاده شد. بدین منظور از روش پلاسمای جفت شده القایی (ICP-OES) جهت تعیین یون‌های فلزی احتمالی مانند آهن، روی، مس، باریم و آلمینیم استفاده شد.

علاوه بر این، به منظور بررسی خلوص شیمیایی رادیولانتانیدهای تولید شده، توانایی DOTA برای کمپلکس شدن با یون‌های لantanیم از طریق انکوبه کردن کسری از $(1-100\text{ nmol})$ DOTA ($3/7\text{ MBq}$) با افزایش غلظت $^{135}\text{La}^{3+}$ به مدت 45 دقیقه در محلول بافر سدیم استات $۰/۵$ مolar ($\text{pH} = ۴/۵$) به مدت ۱۲ ساعت انجام گردید.

Journal of Nuclear Science, Engineering and Technology
Vol. 46 (2), Serial Number 112, 2025, P 160-169

۴.۲ جداسازی رادیوشیمیایی $^{132/135}\text{La}$

به طور خاص، رزین‌های دی‌کاتیونی که دارای سایت‌های فعال برای تبادل یون‌های فلزی هستند، در جداسازی دو عنصر باریم و لantanیم استفاده می‌شوند. این رزین‌ها عموماً دارای گروه‌های کاتیونی فعال بوده که با یون‌های فلزی واکنش می‌دهند و آن‌ها را جذب می‌کنند. استفاده از گلیکول آمید می‌تواند تفاوت در تمایل جذب لantanیم و باریم را افزایش دهد. به این ترتیب، لantanیم و باریم به دلیل تفاوت در شاعع یونی و توانایی کمپلکس شدن، با قدرت‌های متفاوت به رزین متصل می‌شوند. پس از جذب یون‌های فلزی، می‌توان با تغییر شرایط محلول، باریم و لantanیم را به ترتیب از ستون جدا کرد.

به منظور جداسازی، خنکسازی هدف پس از اتمام پرتودهی به مدت 12 ساعت انجام گردید تا رادیونوکلیدهای ^{134}La (نیمه عمر $۳/۹$ ساعت)، ^{134}La (نیمه عمر $۶/۵$ دقیقه) و ^{136}La (نیمه عمر $۹/۹$ دقیقه) که در جریان پرتودهی هدف باریم تولید می‌گردند، واپاشی نمایند. پس از خنکسازی هدف، رادیونوکلیدهای لantanیم با استفاده از رزین دی‌گلیکول آمید، از هدف باریم و سایر رادیونوکلیدهای تولیدی جدا شدند. برای این منظور، هدف پرتودهی شده در اسید نیتریک ۳ مolar حل شده و محلول از یک کارتريج استخراج فاز جامد حاوی ۵۰۰ میلی‌گرم رزین (که پیش از این با ۱۰ میلی‌لیتر اسید نیتریک ۳ مolar آماده‌سازی شده بود) عبور داده شد. مجدداً کارتريج با ۳۰ میلی‌لیتر اسید نیتریک ۳ مolar شسته شد تا باریم باقی‌مانده و سایر ناخالصی‌های فلزی حذف شود. نهایتاً با استفاده از اسید کلریدریک ۱ مolar، ^{135}La در فرم کلراید از کارتريج استخراج شد [۹]. شماتیک جداسازی در شکل ۳ نشان داده شده است. در این کار، آزمایشات جداسازی سه مرتبه تکرار شده و در هر مرحله بازده جداسازی محاسبه گردیده و نهایتاً مقدار میانگین بازده جداسازی محاسبه شده است.



که در آن ϵ بازده آشکارساز در فوتوبیک، γ احتمال انتشار فوتوبیک، t_s زمان زنده جمع‌آوری طیف نمونه برحسب ثانیه، k_1 k_4 k_3 k_2 k_5 فاکتورهای اصلاحی و N سطح خالص زیر پیک فوتوبیک مربوطه بوده و به صورت رابطه (۲) محاسبه می‌شود:

$$N = N_s - (t_s / t_b) N_b \quad (2)$$

که در آن N_s سطح زیر پیک خالص در طیف نمونه است، N_b ناحیه پیک خالص مربوطه در طیف پس‌زمینه و t_s و t_b به ترتیب زمان زنده جمع‌آوری طیف نمونه و طیف پس‌زمینه برحسب ثانیه است.

۳. نتایج

۱.۳ محاسبات

سطح مقطع تولید (mb) لانتانم-۱۳۵ و لانتانم-۱۳۲ و سایر ناخالصی‌ها بر حسب انرژی پروتون فروودی که با کدهای TALYS-۱.۸ و ALICE-۹۱ محاسبه شده است، در شکل‌های ۴ تا ۶ نشان داده شده است.

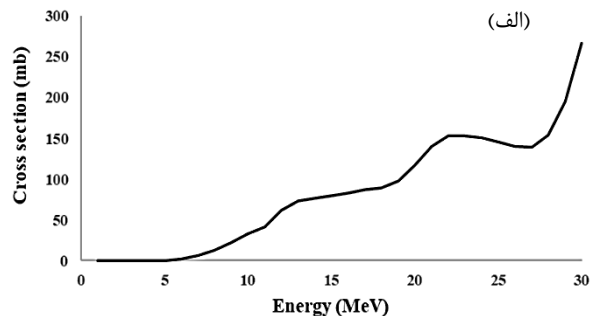
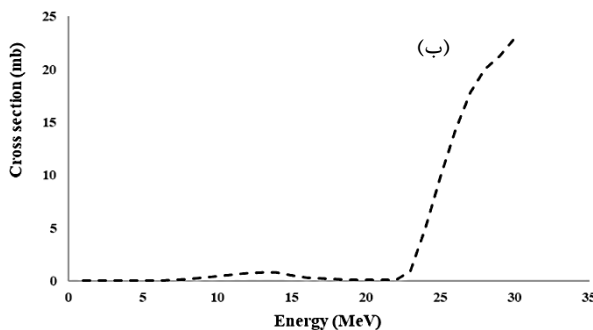
دقیقه در دمای ۹۵ درجه سانتی‌گراد، مطالعه گردید. بازده نشان‌دارسازی به وسیله RTLC با استفاده از بافر اسید سیتریک ۱۰ مولار به عنوان فاز متحرک و کاغذ سیلیکاژل به عنوان فاز ثابت تعیین شد.

۶.۲ خلوص رادیونوکلیدی

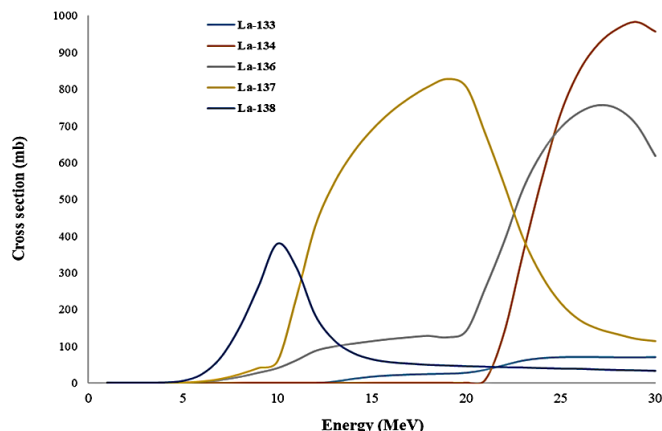
خلوص رادیونوکلیدی با اندازه‌گیری نیمه‌عمرها و تابش‌های ویژه گسیل شده از رادیونوکلیدهای اختصاصی تعیین می‌گردد. رادیونوکلیدهایی که پرتوهای گاما گسیل می‌کنند، از طریق شناسایی انرژی‌های پرتو گاما خود در طیف‌های حاصل روی آشکارسازهای Ge(Li)، NaI(Tl) یا HPGe که به یک آنالیزور چند کاناله متصل هستند، از هم تمیز داده می‌شوند.

در این کار خلوص رادیونوکلیدی براساس بازبینی طیف گامای مقادیر اندکی از محلول رادیواکتیو تولیدشده، با استفاده از آشکارساز HPGe مورد بررسی قرار گرفت. فعالیت رادیوایزوتوپ‌های لانتانم با اندازه‌گیری ناحیه زیر قله انرژی پرتو گاماهای مربوط به لانتانم-۱۳۵ و لانتانم-۱۳۲ مطابق رابطه (۱) اندازه‌گیری شد [۱۷]:

$$A = \frac{N}{\epsilon \gamma t_s k_1 k_2 k_3 k_4 k_5} \quad (1)$$

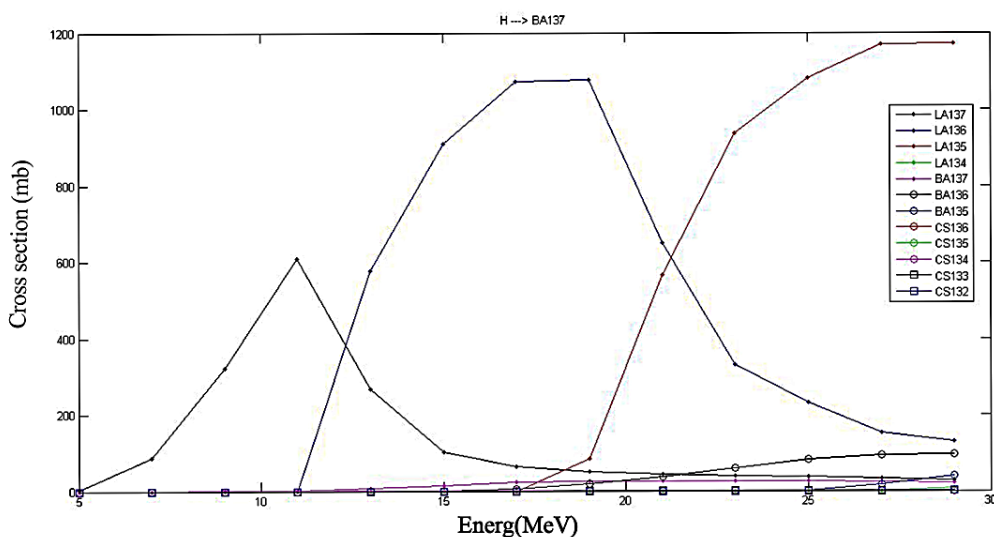


شکل ۴. سطح مقطع (mb) تولید، (الف) ^{132}La و (ب) ^{135}La در واکنش $^{nat}\text{Ba}(p,x)$ بر حسب انرژی پروتون (محاسبه شده با کد TALYS-1.8).



شکل ۵. سطح مقطع (mb) تولید سایر رادیونوکلیدهای لانتانم تولیدی در واکنش $^{nat}\text{Ba}(p,x)$ بر حسب انرژی پروتون (محاسبه شده با کد TALYS-1.8). Journal of Nuclear Science, Engineering and Technology Vol. 46 (2), Serial Number 112, 2025, P 160-169





شکل ۶. سطح مقطع تولید انواع رادیوایزوتوپ‌های تولیدی در واکنش $\text{Ba}(\text{p},\text{x})^{\text{nat}}\text{Ba}$ بر حسب انرژی پروتون (محاسبه شده با کد ALICE-۹۱).

از (EOB) به زیر حد تشخیص آشکارساز رسیده بودند. علاوه بر این، غلظت اکتیویته ^{135}La در محلول نهایی 40.5 MBq/mL بوده است.

در مقاله‌ای که توسط ساردوی^۱ و همکاران انجام شده است، تحت شرایط انرژی پروتون 11.9 MeV ، جریان باریکه 10 میکروآمپر و مدت زمان پرتودهی 3 ساعت، بهره تولید رادیونوکلیدهای ^{135}La و ^{132}La به ترتیب $5.6 \pm 1.1 \text{ MBq}\mu\text{Ah}^{-1}$ و $26 \pm 0.5 \text{ MBq}\mu\text{Ah}^{-1}$ گزارش شده است. اختلاف مشاهده شده می‌تواند ناشی از تفاوت در شرایط پرتودهی، زمان پرتودهی و همچنین روش آنالیز نمونه باشد.

۳.۳ جداسازی باریم از لانتانم

در حالی که هدف باریمی و سایر رادیونوکلیدهای تولیدی محلول در اسید نیتریک از رزین عبور می‌کنند، رادیوایزوتوپ‌های لانتانم بر روی رزین باقی می‌مانند. نهایتاً رادیوایزوتوپ‌های لانتانم با استفاده از اسید کلریدریک در فرم LaCl_3 [۱۳۵X $\text{La}][\text{LaCl}_3]$] استخراج شده و برای اهداف نشان‌دارسازی مورد استفاده قرار گرفت. میانگین بازده جداسازی شیمیایی در این مطالعه $4.4 \pm 6.8 \text{٪}$ بودست آمد.

۴.۲ خلوص رادیونوکلیدی

برای اندازه‌گیری و تعیین ناخالصی‌های رادیونوکلیدی طیف اشعه گاما مخصوص جداسازی شده مورد بررسی قرار گرفت. طیف گاما I $^{132/135}\text{La}$ تولید شده در شکل ۷ نشان داده شده است.

همان‌طور که در شکل ۵ دیده می‌شود، در میان ناخالصی‌های لانتانم‌های تولید شده، ^{137}La و ^{138}La با نیمه عمرهای به ترتیب 6×10^4 سال، 10.5×10^{11} سال تقریباً پایدار در نظر گرفته می‌شوند. ^{136}La و ^{134}La با نیمه عمرهای کوتاه به ترتیب $9/9$ و $6/5$ دقیقه در زمان خنکسازی، تقریباً به صورت کامل واپاشی می‌نمایند. از شکل ۵ مشاهده می‌شود که سطح مقطع تولید رادیونوکلید ^{133}La (نیمه عمر $3/9$ ساعت) در انرژی 14 MeV بسیار پایین بوده و علاوه بر این در زمان خنکسازی هدف، عده اکتیویته واپاشی می‌نماید.

با توجه به شکل‌های ۴ و ۵، انتخاب بهینه انرژی 14 MeV در محل هدف باریم طبیعی، منجر به تولید کافی از $^{132/135}\text{La}$ با کمترین مقدار ناخالصی رادیونوکلیدی از ^{133}La می‌گردد.

برای محاسبه ضخامت مفید هدف با استفاده از کد محاسباتی SRIM برد پروتون در محدوده انرژی $3-14 \text{ MeV}$ بدست آمد و سپس با بدست آوردن اختلاف این دو عدد، (بردهای پرتوون در هر انرژی) ضخامت هدف برابر با $1/2 \text{ mm}$ محاسبه گردید.

۴.۳ پرتودهی و بهره تولید

هدف باریم طبیعی در انرژی پرتوون 14 MeV و جریان باریکه 25 میکروآمپر به مدت 4 ساعت تحت پرتودهی قرار گرفت. تحت این شرایط پرتودهی، میانگین بهره تولید رادیونوکلیدهای ^{135}La و ^{132}La در پایان پرتودهی (EOB)، به ترتیب $8.51 \pm 2.1 \text{ MBq}\mu\text{Ah}^{-1}$ و $4.3 \pm 0.1 \text{ MBq}\mu\text{Ah}^{-1}$ بوده است. با توجه به این که هدف مورد پرتودهی هدف باریم طبیعی بوده است، ایزوتوپ‌های کوتاه‌عمر ^{134}La و ^{136}La نیز به طور همزمان تولید شدند، اما در زمان آنالیز نمونه (تقریباً 5 ساعت پس از تولید) کمتر از $1 \text{ MBq}\mu\text{Ah}^{-1}$ تولید شدند.

مجله علوم، مهندسی و فناوری هسته‌ای

دوره ۴۶، شماره ۲، جلد ۱۱۲، تابستان ۴، ۱۴۰۰، ص ۱۶۰-۱۶۹

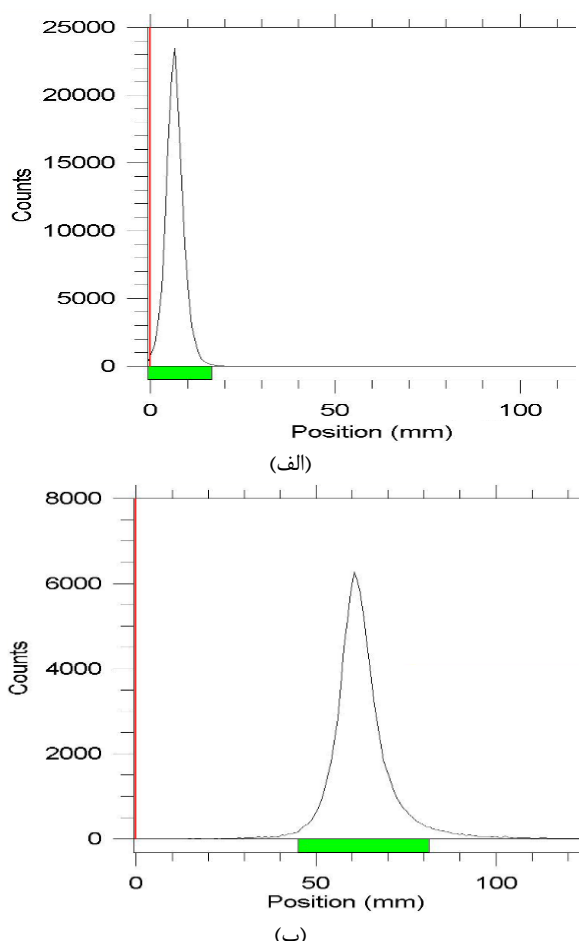


رادیوشیمیایی را افزایش می‌دهد (خلوص رادیوشیمیایی $\geq ۹۸/۲\%$) به ترتیب برای غلظت ۵ و ۱۰ نانومولار)، لیکن این مقدار افزایش بسیار ناچیز است. کروماتوگرام ^{13x}La RTLC در شکل ۹ نشان داده آزاد و رادیوکمپلکس ^{13x}La -DOTA در شکل ۹ نشان داده شده است.

همان‌گونه که از شکل ۹ مشاهده می‌گردد خلوص رادیوشیمیایی ترکیب نشان دار $^{13x}\text{La}[\text{La}-\text{DOTA}]$ بالاتر از ۹۹٪ بوده است. با توجه به این که شلاتور DOTA در ساختار شیمیایی بسیاری از حامل‌های مورد استفاده در توسعه رادیوداروها وجود دارد، این نتیجه نشان می‌دهد توسعه رادیوداروهای تشخیصی و درمانی بر پایه لانتانم در کشور وجود دارد.

جدول ۳. مقدار یون‌های فلزی در محلول نهایی تعیین شده با روش ICP-OES

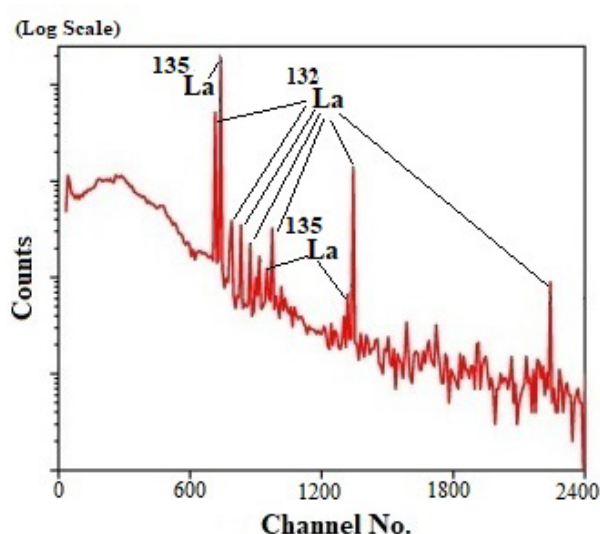
یون فلزی	Ba	Al	Cu	Fe	Zn
ناخالصی (ppm)	۰/۳	۰/۰۵	۰/۰۲	۰/۰۱	۰/۱



شکل ۸. کروماتوگرام RTLC محلول $^{132/135}\text{LaCl}_3$ در سیستم حلal (الف)

مخلوط ۱۰٪ آمونیم استات: متانول (۱:۱) و ب) ۱ میلی‌مولار DTPA

Journal of Nuclear Science, Engineering and Technology
Vol. 46 (2), Serial Number 112, 2025, P 160-169



شکل ۷. طیف گاما محصول نهایی.

نتایج به دست آمده نشان داد که تمامی پیک‌های قابل مشاهده مربوط رادیوایزوتوپ‌های لانتانم می‌باشد. همچنین سایر ناخالصی‌های رادیونوکلیدی بسیار ناچیز بوده، به‌طوری‌که خلوص رادیونوکلیدی بالاتر از ۹۹/۵٪ حاصل گردید.

۵.۳ خلوص شیمیایی و رادیوشیمیایی
مقدار یون‌های فلزی مراحم (باریم، مس، روی، آلومینیم و آهن) در محلول نهایی با روش ICP-OES تعیین شد (جدول ۳). نتایج نشان داد که مقدار کل یون‌های فلزی در محلول نهایی $\leq ۰/۳\text{ ppm}$ بوده است.

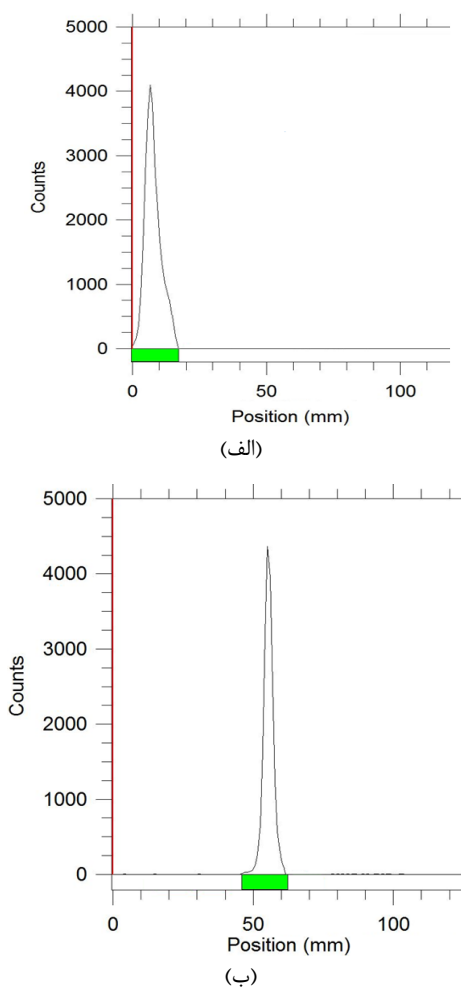
خلوص رادیوشیمیایی با روش RTLC در دو حلal ۱۰٪ آمونیم استات: متانول (۱:۱) و ۱ میلی‌مولار DTPA مورد بررسی قرار گرفت (شکل ۸). همان‌طور که مشاهده می‌شود، خلوص رادیوشیمیایی محلول نهایی بیش از ۹۹٪ درصد به دست آمد.

۶.۳ نشان‌دارسازی شلاتور DOTA با لانتانم
استفاده از مواد شلاتور مانند DOTA یک روش رایج برای بررسی واکنش‌پذیری رادیولانتانیدهای تولید شده است. شلاتور DOTA امکان تشکیل کمپلکس‌های پایدار با بسیاری از یون‌های فلزی را فراهم می‌کند، که اطلاعات در مورد خلوص شیمیایی رادیوفلزات تولید شده را فراهم می‌نماید. نشان‌دارسازی شلاتور DOTA با لانتانم نشان داد حتی با اضافه نمودن ۱ نانومولار از این شلاتور، خلوص رادیوشیمیایی بالاتر از ۹۳٪ به دست آمد. هرچند افزایش میزان غلظت DOTA به اکتیویته ثابت از رادیوایزوتوپ‌های لانتانم تا حدی خلوص



مراجع

1. Center M.M, Siegel R, Jemal A. Global cancer facts & figures. *Atlanta: American Cancer Society*. 2011;1-52.
2. Curcio C.G, Vasile C, Gianciotta A, Casali A, Gionfra T, Rinaldi M, Guadagni A, Le Pera V, Segà E. Short-term results of combined radioimmunotherapy in inoperable lung cancer. *Tumori Journal*. 1976 Nov;62(6):587-97.
3. Nelson B.J, Wilson J, Andersson J.D, Wuest F. High yield cyclotron production of a novel $^{133/135}\text{La}$ theranostic pair for nuclear medicine. *Scientific Reports*. 2020 Dec 17;10(1):22203.
4. Chakravarty R, Patra S, Jagadeesan K.C, Thakare S.V, Chakraborty S. Electrochemical separation of $^{132/135}\text{La}$ theranostic pair from proton irradiated Ba target. *Separation and Purification Technology*. 2022 Jan 1;280:119908.
5. Lessing J.G, Fouche K.F. Separation of carrier-free rhodium-105 from neutron-irradiated ruthenium by extraction from molten cyanide. *Analytical Chemistry*. 1975 Jan 1;47(1):182-4.
6. Grudzinski J, Marsh I, Titz B, Jeffery J, Longino M, Kozak K, Lange K, Larrabee J, Weichmann A, Moser A, Bednarz B. CLR 125 Auger electrons for the targeted radiotherapy of triple-negative breast cancer. *Cancer Biotherapy & Radiopharmaceuticals*. 2018 Apr 1;33(3):87-95.
7. Tavares A.A, Tavares J.M. $^{99\text{m}}\text{Tc}$ Auger electrons for targeted tumour therapy: A review. *International journal of radiation biology*. 2010 Apr 1;86(4):261-70.
8. Thisgaard H, Halle B, Aaberg-Jessen C, Olsen B.B, Therkelsen A.S, Dam J.H, Langkjær N, Munthe S, Någren K, Høilund-Carlsen P.F, Kristensen B.W. Highly effective auger-electron therapy in an orthotopic glioblastoma xenograft model using convection-enhanced delivery. *Theranostics*. 2016;6(12):2278.
9. Aluicio-Sarduy E, Hernandez R, Olson A.P, Barnhart T.E, Cai W, Ellison P.A, Engle J.W. Production and *in vivo* PET/CT imaging of the theranostic pair $^{132/135}\text{La}$. *Scientific reports*. 2019 Jul 23;9(1):10658.
10. Fonslet J, Lee B.Q, Tran T.A, Siragusa M, Jensen M, Kibedi T, Stuchbery A.E, Severin G.W. ^{135}La as an Auger-electron emitter for targeted internal radiotherapy. *Physics in Medicine & Biology*. 2017 Dec 29;63(1):015026.
11. Mansel A, Franke K. Production of no-carrier-added ^{135}La at an 18 MeV cyclotron and its purification for investigations at a concentration range down to 10–15 mol/L. *Radiochimica Acta*. 2015 Nov 28;103(11):759-63.



شکل ۹. کروماتوگرام RTLС. (الف) ^{135}La -DOTA و (ب) ^{132}La -DOTA با استفاده از بافر اسید سیتریک ۰،۱ مولار به عنوان فاز متحرک و کاغذ سیلیکاژل به عنوان فاز ساکن.

۴. نتیجه‌گیری

در این تحقیق، امکان تولید زوج ترانوستیک لانتانم-۱۳۲/۱۳۵ از طریق برهم‌کنش $^{nat}\text{Ba}(p,x)^{13x}\text{La}$ ، برای استفاده در مقاصد نشان‌دارسازی و تولید رادیوداروهای تشخیصی-درمانی بر پایه لانتانم در کشور مورد بررسی قرار گرفت. بدین منظور هدف باریم طبیعی در سیکلوترونی ۳۰ MeV پرتودهی و از رادیوایزوتوپ‌های لانتانم تولیدی جدا شد. نتایج کنترل کیفی نشان داد که میانگین مقدار کل یون‌های فلزی در محلول نهایی کمتر از ۰،۱ ppm و خلوص رادیوشیمیایی و رادیونوکلیدی به ترتیب بالاتر از ۹۹٪ و ۹۹،۵٪ است. همچنانیم مقدار بسیار کم از شلاتور DOTA (۱ نانومولار) منجر به خلوص رادیوشیمیایی بالاتر از ۹۳٪ می‌گردد. این مطالعه نشان داد که امکان تولید و جداسازی رادیوایزوتوپ‌های لانتانم با کیفیت موردنیاز برای توسعه رادیوداروهای تشخیصی و درمانی بر پایه لانتانم در کشور وجود دارد.



12. Jagodić V, Herak M.J, Radošević J. Separation of lanthanum from barium by solvent extraction with the monoocetyl ester of anilinobenzylphosphonic acid. *Journal of the Less Common Metals.* 1968 Aug 1;15(4):371-5.
13. Perkins R.W. Filtration-precipitation separation of barium-140 from lanthanum-140. *Analytical Chemistry.* 1957 Jan 1;29(1):152-3.
14. Möller T, Bestaoui N, Wierzbicki M, Adams T, Clearfield A. Separation of lanthanum, hafnium, barium and radiotracers yttrium-88 and barium-133 using crystalline zirconium phosphate and phosphonate compounds as prospective materials for a Ra-223 radioisotope generator. *Applied Radiation and Isotopes.* 2011 Jul 1;69(7):947-54.
15. Das N.R, Bhattacharyya S.N. Ion exchange separation of carrier-free ^{140}Ba and ^{140}La from their equilibrium mixture using nitrilotriacetic acid and ascorbic acid as eluents. *The International Journal of Applied Radiation and Isotopes.* 1982 Mar 1;33(3):171-3.
16. Bhattacharyya D.K, Basu S. Use of Alumina as an Ion Exchanger in the Separation of Carrier-Free ^{140}La from ^{140}Ba . *Separation Science and Technology.* 1976 Jan 1;11(1):103-8.
17. Yousefnia H, Zolghadri S, Shanehsazzadeh S. Estimated human absorbed dose of ^{177}Lu -BPAMD based on mice data: Comparison with ^{177}Lu -EDTMP. *Applied Radiation and Isotopes.* 2015 Oct 1; 104:128-35.

COPYRIGHTS

©2021 The author(s). This is an open access article distributed under the terms of the Creative Commons Attribution (CC BY 4.0), which permits unrestricted use, distribution, and reproduction in any medium, as long as the original authors and source are cited. No permission is required from the authors or the publishers.



استناد به این مقاله

شیرپور، علی، حدادی، اصغر، ذوالقدری، سمانه، وثوقی، سارا، رجبی‌فر، سعید. (۱۴۰۴)، تولید و کنترل کیفی زوج ترانوستیک $^{133/135}\text{La}$ به منظور استفاده در رادیوتراپی هدفمند. مجله علوم، مهندسی و فناوری هسته‌ای، ۱۱۲ (۲)، ۱۶۰-۱۶۹. Url: https://jonsat.nstri.ir/article_1689.html DOI: <https://doi.org/10.24200/nst.2024.1646.2045>

